

УДК 551.466.3

К ТЕОРИИ СТАЦИОНАРНЫХ ВОЛН НА ГОРИЗОНТАЛЬНОМ ТЕЧЕНИИ С ЛИНЕЙНЫМ ПРОФИЛЕМ СКОРОСТИ

А. А. Зайцев, А. И. Руденко*

Атлантическое отделение Института океанологии им. П. П. Ширшова РАН,
236000 Калининград

* Калининградский государственный технический университет, 236000 Калининград
E-mail: rudenko1975@bk.ru

В рамках двумерной теории и эйлера подхода изучаются строение и характеристики нелинейных стационарных волн на поверхности горизонтального сдвигового течения идеальной однородной несжимаемой жидкости конечной глубины с линейным профилем скорости. Волновые движения предполагаются безвихревыми. Предложена модификация первого метода Стокса, позволяющая алгебраическими средствами вычислять члены рядов теории возмущений. Получены и проанализированы нелинейные дисперсионные соотношения для волн, бегущих вверх, и для волн, бегущих вниз по потоку.

Ключевые слова: стационарные нелинейные волны, идеальная жидкость, сдвиговое течение, первый метод Стокса, нелинейные дисперсионные соотношения.

Введение. В настоящее время имеется большое количество публикаций, посвященных анализу нелинейных, в том числе стационарных волн на сдвиговых течениях (см., например, работу [1] и приведенную в ней библиографию). Однако представляющие наибольший интерес вывод и анализ нелинейного дисперсионного соотношения отсутствуют даже для простейшего случая волн на течении с линейным профилем скорости. Точнее, в [1] такое соотношение приведено для более общего случая в виде громоздкой интегральной формулы, но получение по ней конкретного результата представляется не менее сложной задачей, чем исходная.

Цель данной работы — в рамках эйлера подхода изучить двумерные волновые движения жидкости конечной глубины с линейным профилем средней скорости, при котором становится возможным, как и в отсутствие среднего течения (т. е. в задаче Стокса), существование безвихревых волновых движений. Для решения поставленной задачи используется модификация первого метода Стокса [2–5]. Особенностью нашего подхода является приведение двумерной задачи к одномерной. Упрощает эту процедуру введение вспомогательных функций. Кроме того, используются ряды теории возмущений, аналогичные рядам Стокса. Для низших приближений получены и решены линейные уравнения. Ранее эта задача рассматривалась в работе [6], в которой значительное место уделено преобразованиям нелинейных граничных условий, а изложение процедуры решения практически полностью отсутствует, что делает невозможным ее анализ. К тому же автор работы [6] игнорирует факт существования двух типов волн: бегущих вверх и бегущих вниз по потоку, которые имеют различную структуру. Поэтому данную задачу требуется решить заново.

Работа выполнена при финансовой поддержке Международного научного фонда INTAS (код проекта 01-460).

Постановка задачи. Рассмотрим горизонтальное течение идеальной несжимаемой однородной жидкости конечной глубины h с линейным профилем средней скорости: $\bar{u} = by$, $\bar{v} = 0$, $b = \text{const}$. Предположим, что на свободной поверхности сформировалась система стационарных нелинейных волн, движущихся с постоянной скоростью c . Используется прямоугольная система координат (x, y) , где ось x совмещена со средним горизонтальным уровнем, а ось y направлена вертикально вверх. Горизонтальную и вертикальную компоненты скорости частиц жидкости обозначим $\bar{u} + u$ и v , где u и v — значения этих компонент, обусловленные волновым движением. Давление, плотность и профиль свободной поверхности обозначим через p , ρ и η соответственно. В случае стационарных волн динамические переменные зависят от координат и времени следующим образом: $\eta = \eta(x - ct)$, $(u, v, p) = (u, v, p)(x - ct, y)$. Выбор горизонтальной оси ведет к условию нулевого среднего для профиля волны: $\langle \eta(x) \rangle = 0$.

Уравнения Эйлера динамики идеальной несжимаемой однородной жидкости, дополненные условием потенциальности волнового движения, имеют вид

$$\rho((u + by - c)u_x + v(b + u_y)) + p_x = 0, \quad (1)$$

$$\rho((u + by - c)v_x + vv_y + g) + p_y = 0;$$

$$u_x + v_y = 0, \quad u_y - v_x = 0. \quad (2)$$

Здесь и далее $\eta = \eta(x)$, $(u, v, p) = (u, v, p)(x, y)$, т. е. сделано переобозначение $x - ct \rightarrow x$.

На свободной поверхности $y = \eta(x)$ имеют место два граничных условия: $(u^s + b\eta - c)\eta' - v^s = 0$, $p^s = 0$; здесь и далее индекс s указывает, что берутся значения на свободной поверхности, например $p^s = p(x, \eta(x))$. Граничным условием на дне служит условие непротекания $v(x, -h) = 0$.

Кроме того, принимаем условия периодичности

$$\eta(x + L) = \eta(x), \quad u(x + L, y) = u(x, y), \quad v(x + L, y) = v(x, y)$$

(L — длина волны) и нулевого среднего (по x): $\langle \eta(x) \rangle = 0$.

Введем функцию тока $\psi = \psi(x, y)$, определив ее равенствами $u = \psi_y$, $v = -\psi_x$. Тогда уравнения (2) сводятся к уравнению Лапласа

$$\Delta\psi = \psi_{xx} + \psi_{yy} = 0.$$

Для функции тока также выполняются условия периодичности и нулевого среднего.

Уравнения (1), (2) допускают первый интеграл, который выражается через функцию тока следующим образом:

$$P = \rho(-V(x, y) + b(y\psi_y - \psi) + gy) + p = \text{const},$$

где $V(x, y) = c\psi_y - 2^{-1}(\psi_x^2 + \psi_y^2)$. Этот интеграл является обобщением интеграла Бернулли на случай течений с постоянной завихренностью. Величина $\Psi(x, y) = \psi(x, y) - cy + 2^{-1}by^2$ — полная функция тока в системе координат, движущейся вместе с волной. В этой системе координат движение будет установившимся, поэтому на свободной поверхности величина Ψ принимает постоянное значение:

$$\Psi^s = \psi^s(x) - c\eta(x) + 2^{-1}b\eta^2(x) = Q = \text{const}.$$

В силу изложенного для граничных условий имеем

$$\begin{aligned} -c\eta(x) + \psi^s(x) + 2^{-1}b\eta^2(x) &= Q, \\ -V^s(x) + b(\eta(x)\psi_y(x, \eta(x)) - \psi^s(x)) + g\eta(x) &= P, \quad P = \text{const}, \\ \psi(x, -h) &= 0. \end{aligned} \quad (3)$$

Несложно получить решение рассматриваемой задачи в линейном приближении:

$$\eta(x) = a \cos(kx), \quad \psi(x, y) = \text{sh}^{-1}(kh) c_0 a \cos(kx) \text{sh}(k(y+h)), \quad k = 2\pi/L,$$

где c_0 — фазовая скорость линейных волн, которая удовлетворяет уравнению

$$k \text{cth}(kh) c_0^2 + bc_0 - g = 0.$$

Это уравнение имеет два действительных корня с противоположными знаками. Им соответствуют две синусоидальные волны, бегущие вниз и вверх по потоку.

Приведение к одномерной задаче. Введем новые вспомогательные функции $\psi(x) = \psi(x, 0)$, $\xi(x) = \psi_y(x, 0)$, $H(x) = \eta^2(x)$, $V(x) = V_y(x, 0)$, используя которые можно перейти от исходной двумерной задачи к одномерной и, кроме того, упростить процедуру расчета последовательных приближений. Сделаем некоторые замечания:

1. Обозначение $\psi(x)$ совпадает с обозначением функции тока, но это не должно приводить к недоразумению, так как далее функция тока не рассматривается.

2. Соответствие $\psi(x) \rightarrow \xi(x)$ является линейной операцией W , которая позволяет однозначно определить $\xi(x)$ по $\psi(x)$: $\xi(x) = W\psi(x)$; в частности, при $\psi(x) = \cos(kx)$ получаем $\xi(x) = k \text{cth}(kh) \cos(kx)$. В силу линейности из этого частного случая легко получить значение $\xi(x)$ для любого тригонометрического многочлена.

Используя новые функции и оператор W , получаем уравнения одномерной задачи (с точностью до 3-го приближения)

$$\begin{aligned} \xi(x) &= W\psi(x), \\ g\eta(x) - b\psi(x) - c\xi(x) + 2^{-1}(\xi^2(x) + (\psi'(x))^2) - \eta(x)V(x) + 2^{-1}cH(x)\xi''(x) &= P, \\ -c\eta(x) + \psi(x) + \eta(x)\xi(x) + 2^{-1}H(x)(b - \psi''(x)) &= Q, \\ H(x) = \eta^2(x), \quad V(x) = (\xi(x) - c)\psi''(x) - \psi'(x)\xi'(x). \end{aligned} \tag{4}$$

При выводе этих уравнений использованы разложения уравнений (3) в ряды Тейлора по степеням $\eta(x)$.

Вывод и решение систем уравнений последовательных приближений. Приближенное решение одномерной задачи ищется в виде

$$\begin{aligned} c &= c_0(1 + c_1(ka)^2), \quad Q = k^{-1}c_0Q_1(ka)^2, \quad P = k^{-1}c_0P_1(ka)^2, \\ \eta(x) &= k^{-1}(\eta_1(x)(ka) + \eta_2(x)(ka)^2 + \eta_3(x)(ka)^3), \quad \eta_1(x) = \cos(kx), \\ \psi(x) &= k^{-1}c_0(\psi_1(x)(ka) + \psi_2(x)(ka)^2 + \psi_3(x)(ka)^3), \\ \xi(x) &= c_0(\xi_1(x)(ka) + \xi_2(x)(ka)^2 + \xi_3(x)(ka)^3), \\ H(x) &= k^{-2}H_2(x)(ka)^2 + k^{-2}H_3(x)(ka)^3, \\ V(x) &= kc_0^2(V_1(x)(ka) + V_2(x)(ka)^2) \end{aligned}$$

(a — амплитуда основной гармоники в профиле волны). Здесь учтено решение линейной задачи. После подстановки этих соотношений в уравнения (4) и расщепления по степеням ka получаем системы трех низших приближений:

— систему уравнений 1-го приближения

$$\begin{aligned} \xi_1(x) &= k^{-1}W\psi_1(x), \quad (Rkc_0 + b)\eta_1(x) - b\psi_1(x) - kc_0\xi_1(x) = 0, \\ -\eta_1(x) + \psi_1(x) &= 0, \quad \eta_1(x) = \cos(kx), \quad R = \text{cth}(kh); \end{aligned}$$

— систему уравнений 2-го приближения

$$\begin{aligned} \xi_2(x) &= k^{-1}W\psi_2(x), & (Rkc_0 + b)\eta_2(x) - b\psi_2(x) - kc_0\xi_2(x) &= A_2(x) + P_1, \\ -\eta_2(x) + \psi_2(x) &= B_2(x) + Q_1, & H_2(x) = \eta_1^2(x), & V_1(x) = -k^{-2}\psi_1''(x), \end{aligned}$$

где

$$\begin{aligned} A_2(x) &= -2^{-1}kc_0(\xi_1^2(x) + k^{-2}(\psi_1'(x))^2) + kc_0\eta_1(x)V_1(x), \\ B_2(x) &= -\eta_1(x)\xi_1(x) - 2^{-1}(kc_0)^{-1}bH_2(x); \end{aligned}$$

— систему уравнений 3-го приближения

$$\begin{aligned} \xi_3(x) &= k^{-1}W\psi_3(x), & (Rkc_0 + b)\eta_3(x) - b\psi_3(x) - kc_0\xi_3(x) - kc_0c_1\xi_1(x) &= A_3(x), \\ -\eta_3(x) + \psi_3(x) - c_1\eta_1(x) &= B_3(x), & V_2(x) = k^{-2}(-\psi_2''(x) - \psi_1'(x)\xi_1'(x) + \psi_1''(x)\xi_1(x)), \end{aligned}$$

где

$$\begin{aligned} A_3(x) &= -kc_0(\xi_1(x)\xi_2(x) + k^{-2}\psi_1'(x)\psi_2'(x)) + kc_0(\eta_2(x)V_1(x) + \eta_1(x)V_{12}(x)) - \\ &\quad - 2^{-1}k^{-1}c_0H_2(x)\xi_1''(x) + 2^{-1}k^{-2}bH_2(x)\psi_1''(x), \\ B_3(x) &= -\eta_2(x)\xi_1(x) - \eta_1(x)\xi_2(x) + 2^{-1}k^{-2}H_2(x)\psi_1''(x). \end{aligned}$$

Основные неизвестные функции в каждой из этих систем уравнений должны удовлетворять условиям периодичности и нулевого среднего. Решение системы уравнений 1-го приближения находится по формулам

$$\eta_1(x) = \cos(kx), \quad \psi_1(x) = \cos(kx), \quad \xi_1(x) = R \cos(kx).$$

Перейдем к изложению процедуры решения систем последовательных приближений. Решение систем уравнений 2-го и 3-го приближений начинается с определения функций $H_2(x)$, $V_1(x)$, $V_2(x)$, $A_2(x)$, $A_3(x)$, $B_2(x)$, $B_3(x)$.

В случае 2-го приближения получаем тригонометрические представления

$$\begin{aligned} H_2(x) &= 2^{-1} + 2^{-1} \cos(2kx), & V_1(x) &= \cos(kx), \\ A_2(x) &= 2^{-1}A_{20} + A_{21} \cos(2kx), & B_2(x) &= 2^{-1}B_{20} + B_{21} \cos(2kx), \end{aligned} \quad (5)$$

где

$$\begin{aligned} A_{20} &= -2^{-2}(R^2 - 1)kc_0, & A_{21} &= -2^{-2}(R^2 - 3)kc_0, \\ B_{20} &= -2^{-1}(kc_0)^{-1}(2Rkc_0 + b), & B_{21} &= 2^{-1}B_{20}. \end{aligned} \quad (6)$$

Решение уравнений 2-го приближения ищется в аналогичной форме:

$$\eta_2(x) = \eta_{21} \cos(2kx), \quad \psi_2(x) = \psi_{21} \cos(2kx), \quad \xi_2(x) = \xi_{21} \cos(2kx). \quad (7)$$

Тогда условия периодичности и нулевого среднего выполняются автоматически. После подстановки (5), (7) в систему уравнений 2-го приближения для коэффициентов этих представлений и P_1 , Q_1 получаем алгебраическую систему, решая которую находим

$$\begin{aligned} P_1 &= -2^{-1}A_{20}, & Q_1 &= -2^{-1}B_{20}, & \eta_{21} &= -(kc_0)^{-1}R(A_{21} + (Rkc_0 + b)B_{21}) - B_{21}, \\ & & \psi_{21} &= \eta_{21} + B_{21}, & \xi_{21} &= 2 \operatorname{cth}(2kh)\psi_{21}. \end{aligned}$$

Используя равенства (6), вычисляем значения констант P_1 , Q_1 и коэффициентов тригонометрических многочленов:

$$P_1 = 2^{-2}(R^2 - 1)kc_0, \quad Q_1 = 2^{-2}(kc_0)^{-1}(2Rkc_0 + b),$$

$$\begin{aligned}\eta_{21} &= 2^{-2}(kc_0)^{-2}(R(3R^2 - 1)(kc_0)^2 + (3R^2 + 1)bkc_0 + Rb^2), \\ \psi_{21} &= 2^{-2}(kc_0)^{-2}R(3(R^2 - 1)(kc_0)^2 + 3Rbkc_0 + b^2), \\ \xi_{21} &= 2^{-1}(kc_0)^{-2}(R^2 + 1)(3(R^2 - 1)(kc_0)^2 + 3Rbkc_0 + b^2).\end{aligned}\tag{8}$$

Аналогично получаем решение системы уравнений для 3-го приближения. Находим тригонометрические представления

$$\begin{aligned}A_3(x) &= A_{30} \cos(kx) + A_{31} \cos(3kx), & B_3(x) &= B_{30} \cos(kx) + B_{31} \cos(3kx), \\ \eta_3(x) &= \eta_{31} \cos(3kx), \\ \psi_3(x) &= \psi_{30} \cos(kx) + \psi_{31} \cos(3kx), & \xi_3(x) &= \xi_{30} \cos(kx) + \xi_{31} \cos(3kx).\end{aligned}$$

Расчетные формулы для c_1 и для коэффициентов этих представлений следующие:

$$\begin{aligned}c_1 &= -(2Rkc_0 + b)^{-1}(A_{30} + (Rkc_0 + b)B_{30}), \\ A_{30} &= 2^{-3}(8kc_0\psi_{21} - 5Rkc_0 + 4kc_0\eta_{21} - 4Rkc_0\xi_{21} - 3b), \\ A_{31} &= 2^{-3}(4kc_0\eta_{21} + 24kc_0\psi_{21} - 4Rkc_0\xi_{21} + R - b), \\ B_{30} &= -2^{-3}(3 + 4(R + (kc_0)^{-1}b)\eta_{21}), & B_{31} &= B_{30} + 2^{-2}, \\ \psi_{30} &= c_1 + B_{30}, & \xi_{30} &= R\psi_{30}, \\ \eta_{31} &= -(kc_0)^{-1}D_3^{-1}(A_{31} + (Rkc_0 + b)B_{31}) - B_{31}, \\ \psi_{31} &= \eta_{31} + B_{31}, & \xi_{31} &= 3 \operatorname{cth}(3kh)\psi_{31}, & D_3 &= 2^3R(3R^2 + 1)^{-1}.\end{aligned}$$

С помощью равенств (6), (8) находим величину c_1 и значения коэффициентов тригонометрических многочленов:

$$\begin{aligned}c_1 &= 2^{-3}(2R + b_0)^{-1}(R(9R^4 - 10R^2 + 9) + 2(9R^4 - 2R^2 + 1)b_0 + \\ &\quad + 3R(5R^2 + 1)b_0^2 + 2(3R^2 + 1)b_0^3 + Rb_0^4),\end{aligned}\tag{9}$$

где $b_0 = b/(kc_0)$.

Используя формулу (9), получаем нелинейные дисперсионные соотношения для обоих типов волн:

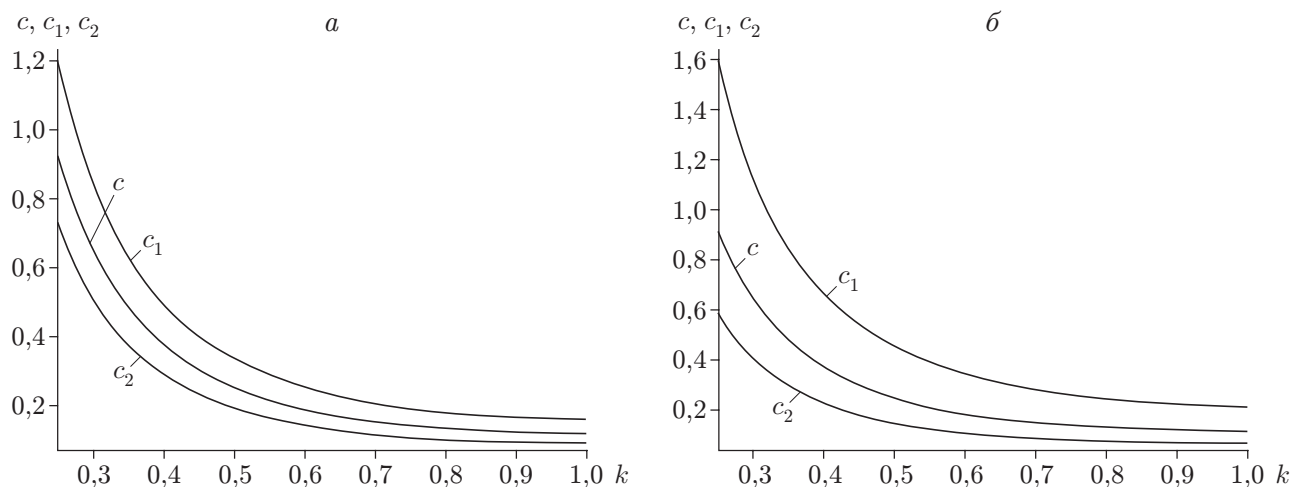
$$\begin{aligned}c^{(i)} &= c_0^{(i)}(1 + 2^{-3}(2R + b_0)^{-1}(R(9R^4 - 10R^2 + 9) + 2(9R^4 - 2R^2 + 1)b_0 + \\ &\quad + 3R(5R^2 + 1)b_0^2 + 2(3R^2 + 1)b_0^3 + Rb_0^4)(ka)^2)\end{aligned}$$

(при $i = 1$ волна движется вверх по потоку, при $i = 2$ — вниз по потоку). В случае $b = 0$ эти соотношения переходят в дисперсионное соотношение Стокса [5]

$$c = \sqrt{g(kR)^{-1}}(1 + 2^{-4}(9R^4 - 10R^2 + 9)(ka)^2).$$

Результаты расчета нелинейной поправки к скорости стационарных волн на течении и сравнения ее с поправкой для скорости волн Стокса, представленные на рисунке, позволяют сделать следующие выводы:

- в присутствии сдвигового течения абсолютные значения скорости обеих волн (бегущих вниз и бегущих вверх по потоку) возрастают;
- увеличение градиента течения ведет к росту абсолютных значений скорости волн;
- влияние течения растет в длинноволновой области и уменьшается в коротковолновой.



Зависимости нелинейной поправки к скорости волны от волнового числа k для волн Стокса (c) и волн на течении, бегущих вниз (c_1) и бегущих вверх (c_2) по потоку:

$a - b = 0,5$; $б - b = 1,0$

Заключение. Отметим особенности использованной методики. Исходная математическая постановка задачи сформулирована с помощью динамической функции тока, а не через потенциал скоростей, как это делалось прежде (начиная со Стокса), что упрощает граничные условия. Сведение двумерной задачи к одномерной позволило существенно упростить процедуру решения и придать основным результатам компактную форму.

Предложенным способом можно решать задачи о строении и характеристиках стационарных нелинейных поверхностных и внутренних гравитационных волн в стратифицированной жидкости, в которой слои движутся в горизонтальном направлении, причем в каждом слое профиль средней скорости линейный.

ЛИТЕРАТУРА

1. **Абрашкин А. А., Зенькович Д. А.** Вихревые стационарные волны на сдвиговом потоке // Изв. АН СССР. Физика атмосферы и океана. 1990. № 1. С. 35–45.
2. **Stokes G. G.** On the theory of oscillatory waves // Cambridge Trans. 1847. V. 8. P. 441–473.
3. **Ламб Г.** Гидродинамика. М.; Л.: Гостехтеоретиздат, 1947.
4. **Сретенский Л. Н.** Теория волновых движений жидкости. М.: Наука, 1977.
5. **Уизем Дж. Б.** Линейные и нелинейные волны. М.: Мир, 1977.
6. **Сунь Цао.** Поведение поверхностных волн на линейно изменяющемся течении // Исследование по механике. № 3. М.: Оборонгиз, 1959. С. 66–84.

Поступила в редакцию 27/VII 2004 г.,
в окончательном варианте — 20/VII 2005 г.